

## بررسی تجربی تاثیر زاویه مارپیچ بر رفتار انژکتورهای پیچشی

مهدی اشجعی

استادیار گروه مهندسی مکانیک - دانشکده فنی - دانشگاه تهران

محمد حسین مصباحی

مجتمع صنعتی شهید همت

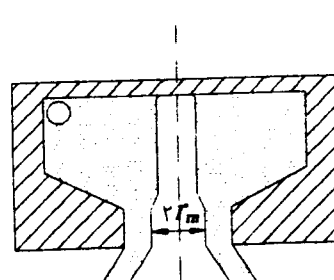
چکیده:

به علت اهمیت زیاد راندمان بالای محفظه احتراق در موشکهای سوخت مایع ازانژکتورهای پیچشی که باعث اتمیزه شده ذرات سوخت و اکسیدکننده قبل از عمل احتراق می‌گردند استفاده می‌شود. این انژکتورها از سه قسمت عمده تشکیل شده‌اند که عبارتند از: مارپیچ، شیپوره (نازل)، واریفیس، مارپیچ که عمده‌تاً باعث تولید گردابه در نازل می‌گردد از سه راهگاه تشکیل شده‌است. به علت مشکلات در زمان تولید یک مارپیچ که می‌تواند گلوگاه درامر تولید تلقی شود، در این مقاله اثر زاویه مارپیچ (زاویه مارپیچ کوچک زمان برداه برداری بیشتر و استهلاک بالای ابزار را ایجاد می‌کند) بر میدان پاشش (سرعت و قطر ذرات) به طور تجربی با استفاده از دستگاه PDA مطالعه گردید. باید توجه داشت که زوایای کوچکتر در مارپیچ باعث افزایش زمان تولید در این قطعه می‌گردد. مشاهده گردید که با افزایش زاویه از ۱۵ به ۳۵ درجه سرعت مطلق ذرات به مقدار کمی کاهش پیدا می‌کند که این موضوع را می‌توان به علت تشکیل گردابه‌های ضعیفتر در نازل دانست. همچنین با افزایش زاویه قطر ذرات نیز بر روی یال مخروط پاشش که بالاترین تمرکز قطرات در آنجاست کاهش پیدا می‌کند، در ضمن ملاحظه گردید که پارامترهای سرعت و قطر باهم در ارتباط بوده و ذرات با قطر بزرگتر از سرعت بالاتری برخوردارند. ولی تغییرات ملاحظه شده در قطر ذرات با تغییر زوایای راهگاه از ۱۵ درجه به ۳۵ درجه حدود ۷٪ است که زیاد قابل توجه نیست.

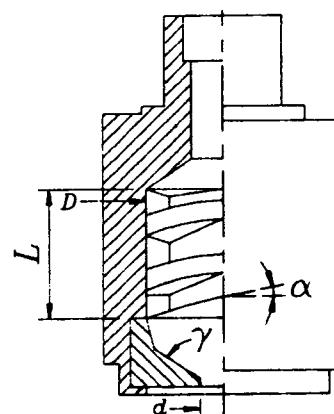
### ۱- مقدمه

در این انژکتور، ورودی سیال (سوخت یا اکسید کننده) بصورت محوری است. دسته دوم انژکتورهای انژکتورهای بدون مارپیچ است (شکل ۲) که ورودی سیال در آن بصورت مماسی است.

انژکتورهای پیچشی کاربرد وسیعی در محفظه احتراق راکتهاي سوخت مایع دارند. این انژکتورها خود به دو دسته تقسیم می‌شوند. دسته اول انژکتورهای مارپیچ دار میباشد (شکل ۱).

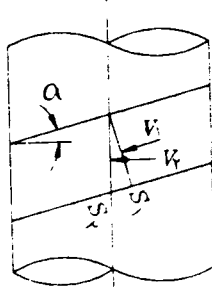


شکل ۲: انژکتور پیچشی با ورودی مماسی.



شکل ۱: انژکتور پیچشی با ورودی محوری.

پارامترهای مهم که بر رفتار انژکتورهای دسته اول تاثیر دارند عبارتند از:



شکل ۳: راهگاه مارپیچ.

که  $V_1$  سرعت سیال در راهگاه می‌باشد.

$V_2 = V_1 \cos\alpha$  سرعت سیال از رابطه مولفه مماسی سرعت سیال از رابطه زاویه مارپیچ (راهگاه) بددست می‌آید که زاویه «زاویه مارپیچ (راهگاه)» می‌باشد. و داریم:

$S_1 = S_2 \cos\alpha$  که در آن  $S_2$  سطح مقطع جریان عمود بر بردار سرعت مماسی است.

$$V_2 = V_1 \cos\alpha = \frac{q}{S_1} \cos\alpha, \frac{S_1}{\cos\alpha} = S_2 \rightarrow V_2 = \frac{q}{S_2}$$

رابطه اخیر مستقل از زاویه  $\alpha$  می‌باشد. از آنجا که  $S_2$  بوسیله ابزار تراشکاری ایجاد می‌گردد بنابراین مارپیچ‌های گوناگون با زوایای مارپیچ (۱) متفاوت که

- ۱ - قطر مارپیچ
- ۲ - طول مارپیچ
- ۳ - زاویه مارپیچ
- ۴ - قطر اوریفیس نازل
- ۵ - زاویه همگرائی نازل
- ۶ - سطح مقطع راهگاه مارپیچ
- ۷ - تعداد راهگاه مارپیچ
- ۸ - جنس سیال

در بررسی حاضر، تاثیر زاویه مارپیچ بر رفتار انژکتور پیچشی مورد مطالعه قرار گرفته است.

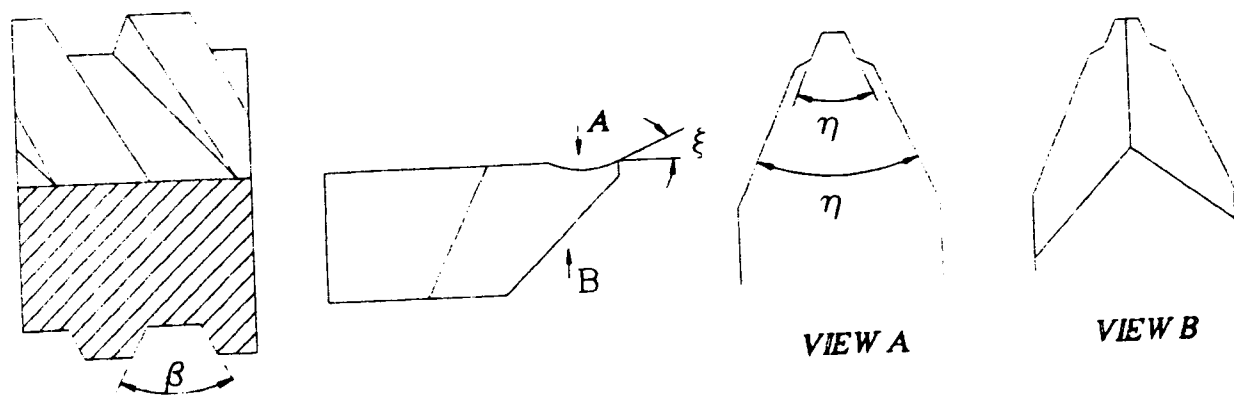
## ۲ - تاثیر زاویه مارپیچ بر مولفه مماسی سرعت سیال در راهگاه

در شکل ۳ شماتیک راهگاه انژکتور کشیده شده است.

اگر دبی سیال در راهگاه  $q$  و سطح مقطع عمود بر راهگاه  $S_1$  باشد داریم:

$$V_1 = \frac{q}{S_1}$$

۱ - راهگاه مارپیچ انژکتور بوسیله ابزار تراشکاری مطابق شکل ایجاد می‌گردد. نقش زاویه  $\beta$  در این است که برایه برداری را بهبود می‌بخشد. هنگام آماده‌سازی ابزار، باید دقت شود تا زاویه  $\beta$  برابر با زاویه  $\alpha$  باشد. اگر در ابتدا زاویه  $\beta$  را مساوی  $\beta$  درنظر بگیریم و آنگاه روی نوک ابزار زاویه  $\beta$  را تولید نمائیم، در آن صورت بعلت شبیهای اطراف ابزار (که در VIEW B نشان داده شده است) دیگر زاویه  $\beta$  برابر با  $\alpha$  (و در نتیجه  $\beta$ ) نخواهد بود و حدود ۴-۵ درجه کوچکتر از آن خواهد بود. مارپیچی که با این ابزار تولید شود هیچگاه راهگاه مطلوب را ایجاد نخواهد کرد و بعلت کوچک بودن مقطع راهگاه، در تست دبی موردنیقی واقع نخواهد گردید. لذا باید ابتدا زاویه  $\beta$  را حداقل ۵ درجه بزرگتر از زاویه  $\alpha$  روی ابزار ایجاد نمائیم و آنگاه پس از ایجاد زاویه  $\beta$  را دقیقاً برابر  $\beta$  روی ماشین ابزار تیزکن ایجاد نمائیم.



منحنی دبی بر حسب افت فشار در شکل ۱۶ رسم شده است . دیده می شود که این سه منحنی کاملاً بر هم منطبق هستند. همچنانکه کفته شد با افزایش زاویه مارپیچ ، طول راهگاه کاهش می یابد. سطح مقطع عبور جریان نیز کاهش می یابد(و لذا سرعت در راهگاه افزایش می یابد). انحراف سیال در ورود به مارپیچ کاهش یافته و در خروج از آن (ورود به نازل) افزایش می یابد. همچنین انحنای سیال کم می شود. تأثیر تمامی این عوامل طوری است که روی افت فشار در انژکتور تأثیری ایجاد نمیشود.

نتیجه فوق از آن جهت حائز اهمیت است که نتیجه می کریم ، تغییر زاویه مارپیچ روی افت فشار انژکتورها و نیز سیستم تغذیه راکت تأثیری نمی گذارد.

### ۵ - تعیین مشخصه پاشش

برای تعیین مشخصه پاشش انژکتورهای ساخته شده ، از دستگاه PDA (Phase Doppler Anemometry) استفاده شده است (شکل ۴). این دستگاه قادر است سرعت - قطر و تعداد در واحد حجم قطرات را در نقطه‌ای که پرتوهای لیزر بهم برخورد میکنند تعیین نماید.

از برخورد دو پرتو لیزر یک بیضی گون (شکل ۵) تشکیل میشود که از صفحات تاریک و روشن تشکیل یافته است . هرگاه قطره‌ای این صفحات تاریک و روشن را قطع نماید فرکانس نور منعکس شده که بوسیله گیرنده دستگاه دریافت میشود بیانگر سرعت ذره خواهد بود. هرگاه فرکانس دو پرتو لیزر یکسان باشد صفحات تاریک و روشن ساکن خواهد بود و لذا جهت حرکت دو ذره با سرعت یکسان لیکن در جهت مقابل ، قابل تشخیص نخواهد بود. حال اگر فرکانس یکی از پرتوها را تغییر دهیم صفحات تاریک و روشن ، متحرک خواهد شد و جهت حرکت ذره برای دستگاه قابل تشخیص خواهد بود. هرگاه در مسیر پرتوهایی که گیرنده (receiver) دریافت میکند دو آشکارساز نوری مطابق شکل ۶ در موقعیت‌های

بوسیله یک ابزار ایجاد شده باشد، دارای  $S_2$  یکسان خواهد بود و اگر دبی برای تمامی آنها یکسان باشد بنابراین مؤلفه سرعت مماسی برای همه یکسان خواهد بود.

لذا بررسی تاثیر زاویه  $\alpha$  روی مشخصه پاشش انژکتورهایی که در تمامی ابعاد هندسی (جز زاویه  $\alpha$ ) یکسان هستند، می‌تواند نتایج کاربردی سودمندی را حاصل گرداند. لازم به توضیح است که با افزایش زاویه  $\alpha$   $S_1$  و  $V_1$  بترتیب کاهش و افزایش می‌یابند و طول راهگاه نیز کم میشود لیکن  $V_2$  بازاء  $\alpha$  ثابت، بلا تغییر میماند.

### ۳ - مشخصات هندسی انژکتورهای تست شده

برای انجام آزمایش ، سه عدد انژکتور با مشخصات زیر ساخته شده :

$$d = 2/1 \text{ mm}$$

$$D = 9 \text{ mm}$$

$$L = 6 \text{ mm}$$

$$S_2 = 1/66 \text{ mm}^2$$

$$N = 2$$

ابعاد فوق برای هر سه انژکتور یکسان هستند. زاویه مارپیچ برای انژکتورها  $15^\circ$  ،  $25^\circ$  و  $35^\circ$  انتخاب شده است <sup>(۱)</sup> دقت بسیار زیادی در ساخت این انژکتورها اعمال گردیده است تا خطاهای ناشی از ساخت در نتایج آزمایش مینیم گردد.

از آنجا که انژکتورهای فوق الذکر، با زاویه مارپیچ از یکدیگر متمایز میگردند لذا آنها را با کدهای  $\alpha 15^\circ$  ،  $\alpha 25^\circ$  و  $\alpha 35^\circ$  نامگذاری کرده‌ایم.

### ۴ - منحنی های دبی انژکتور بر حسب افت فشار

ابتدا سه انژکتور را تست دبی مینمائیم. نتایج حاصل از تست دبی در جدول ۱ آورده شده است.

۱ - زاویه مارپیچ  $35^\circ$  ماکریم زاویه‌ای است که بعلت محدودیت‌های ساخت میتوان روی مارپیچ انژکتور تولید نمود.

جدول ۱: نتایج حاصل از تست دبی برای انژکتورهای  $\alpha ۱۵$  و  $\alpha ۲۵$  و  $\alpha ۳۵$ 

فشار قبل از انژکتور bar	$\frac{\text{cm}^3}{\text{Sec}}$	دربی	فشار قبل از اریفیس bar	زاویه مارپیچ
۲	۱۰/۹۸		۲/۱	۱۵۰
۴	۱۵/۲۴		۴/۱۵	
۶	۱۸/۵۸		۶/۲	
۸	۲۱/۴۳		۸/۴	
۱۰	۲۳/۹۴		۱۰/۴۳	
۱۲	۲۶/۰۸		۱۲/۵	
۱۴	۲۸/۱۸		۱۴/۶	
۲	۱۱/۲۰		۲/۱	۲۵۰
۴	۱۵/۴۶		۴/۱	
۶	۱۸/۸۸		۶/۲	
۸	۲۱/۶۹		۸/۴	
۱۰	۲۴/۲		۱۰/۴۵	
۱۲	۲۶/۳۹		۱۲/۵۳	
۱۴	۲۸/۴۱		۱۴/۶۵	
۲	۱۱/۲۱		۲/۱	۳۵۰
۴	۱۵/۴۳		۴/۱۵	
۶	۱۸/۷۸		۶/۲	
۸	۲۱/۵۲		۸/۴	
۱۰	۲۳/۹۳		۱۰/۵	
۱۲	۲۶/۱۶		۱۲/۵۵	
۱۴	۲۸/۱۳		۱۴/۶۵	

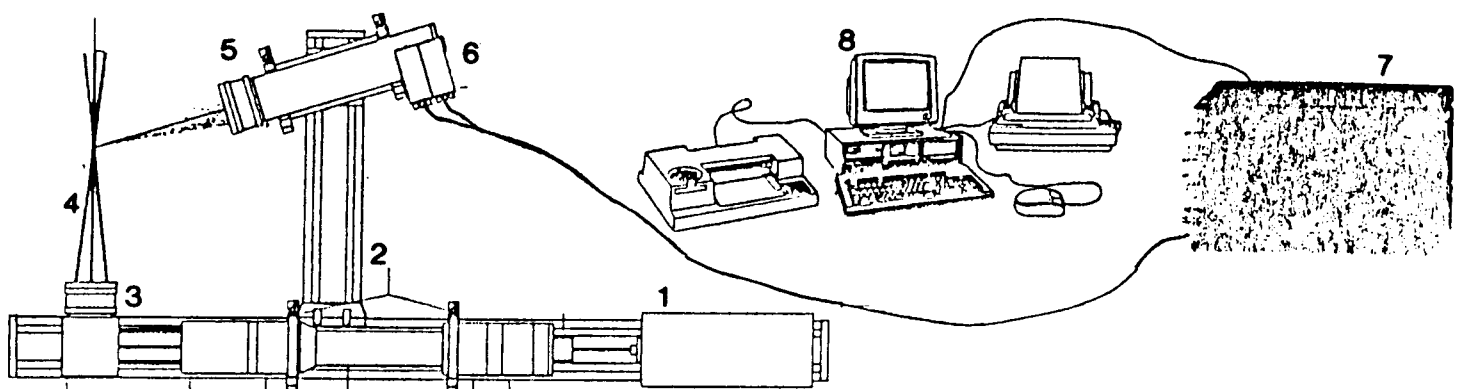
توسط یک بازو به Traversing System متصل است و بوسیله آن در مختصات کارتزین جابجا می‌شود. انژکتور را در صفحه افق ( $Z = \text{cte}$ ) جابجا می‌نمائیم. تمامی اندازه کیریها در  $z = ۴۵\text{mm}$  از محل خروج سیال از انژکتور انجام شده است و سعut میدان  $A$  اندازه کیری  $z = Z = ۴۵\text{mm}$  دایره‌ای به قطر  $۱۱۰\text{mm}$  است که تمامی مخروط پاشش را در بر می‌گیرد و حدود یک سانتی متر از مخروط پاشش فراتر می‌رود. مرکز این دایره، تقاطع محور انژکتور با صفحه  $A$  می‌باشد که برای آن مختصات  $(۰, ۰, ۴۵)$  را انتخاب می‌کنیم.

زاویه‌ای متفاوت قرار دهیم هر دو آشکارساز پرتوهایی را از یک ذره دریافت خواهند کرد که دارای فرکانس یکسان بوده لیکن هم فاز نیستند (شکل ۷). مطابق شکل ۸ این اختلاف فاز متناسب با قطر قطره است و به این ترتیب دستگاه قادر به تعیین قطر خواهد بود.

#### ۶- روش انجام آزمایش

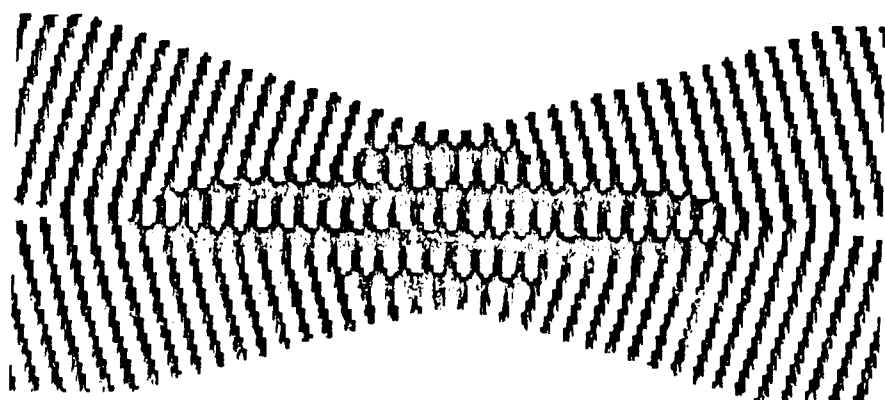
در حین آزمایش، دستگاه PDA (و در نتیجه موقعیت محل برخورد پرتوهای لیزر) ثابت است لیکن انژکتور که بوسیله کیره مخصوصی نگهداری می‌شود،

۱- اگر با چراغ استرولوپسکوپ از خروجی انژکتور به فاصله  $۴۵\text{mm} = Z$  به پاشش نگاه کنیم، امواج میراشده‌اند و قطرات بصورت یکنواخت عبور می‌کنند.

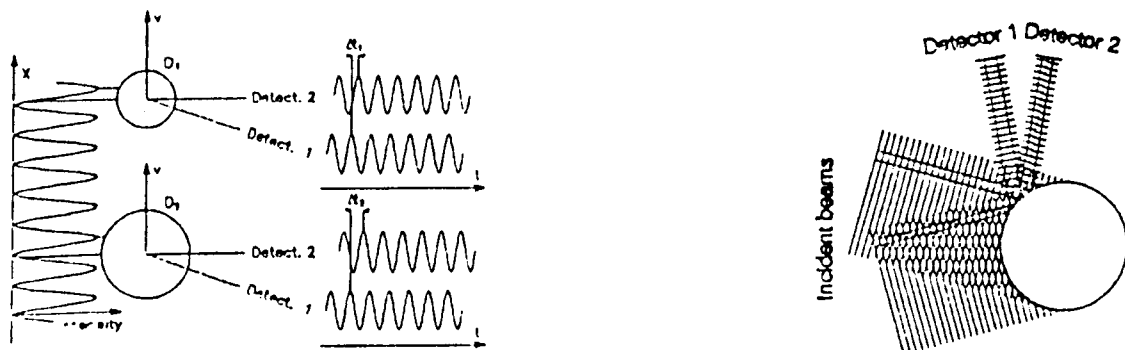


شکل ۴: شماتی دستگاه PDA.

(۱- مولد لیزر ۲- انتقال دهنده ۳- همگرا کننده پرتوها ۴- پرتوهای لیزر ۵- گیرنده ۶- آشکارساز نوری ۷- پردازنده سیگنال ۸- کامپیوتر و تجهیزات جانبی).



شکل ۵: صفحات تاریک و روشن ناشی از برخورد پرتوهای لیزر.

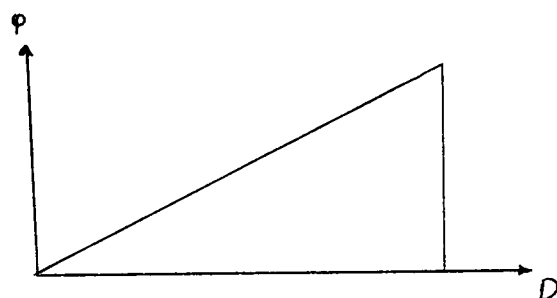


شکل ۷: تأثیر اندازه قطره روی اختلاف فاز.

شکل عزموقعيت آشکار سازهای نوری.

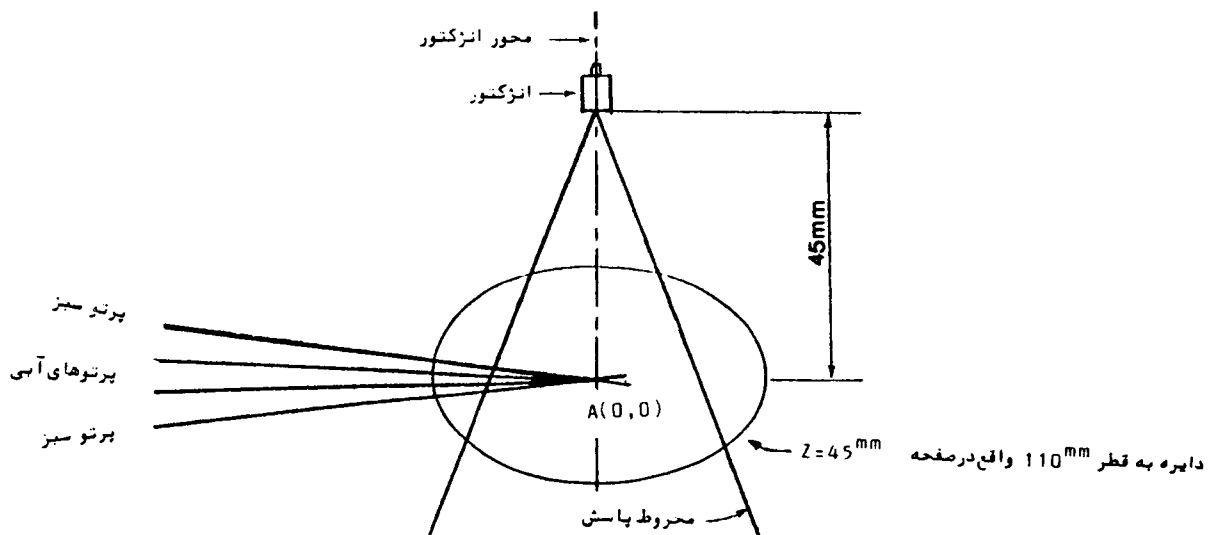
خواهد بود. لیکن برای افزایش دقت اندازه‌گیری، برای نقطه‌ای معین روی یک شعاع، میانگین مقادیر مربوط به نقاطی که فاصله‌شان تا نقطه A به یک اندازه است را بعنوان مشخصه مربوط به آن نقطه در نظر می‌گیریم. بعنوان مثال اگر منحنی تغییرات مربوط به قطر قطرات در امتداد یک شعاع را بخواهیم رسم کنیم، برای هر نقطه روی شعاع، میانگین قطر قطراتی که روی دایره‌ای به مرکز A مار بر آن نقطه قرار دارد را بعنوان قطر قطره در آن نقطه در نظر می‌گیریم (شکل ۱۰).

حال، چه تدبیری بیندیشیم که هم برای اندازه‌گیری دقیق‌تر، مورد فوق رعایت شده باشد و هم بتوانیم سه مؤلفه سرعت را از دستگاهی که در آن واحد دو مؤلفه سرعت را میدهد استخراج نمائیم؟<sup>(۱)</sup> روش زیر به این منظور تدوین شده است:



شکل ۸: تغییرات اختلاف فاز نسبت به قطر.

آزمایشات مکرر نشان داده است که مشخصه‌های پاشش (قطر، سرعت، تعداد قطرات در واحد حجم) نسبت به مرکز تقارن A قرینه است یعنی اگر هر کدام از صفحه‌های پاشش را در امتداد یک شعاع رسم نمائیم، مرکز دایره، مرکز تقارن برای آن مشخصه



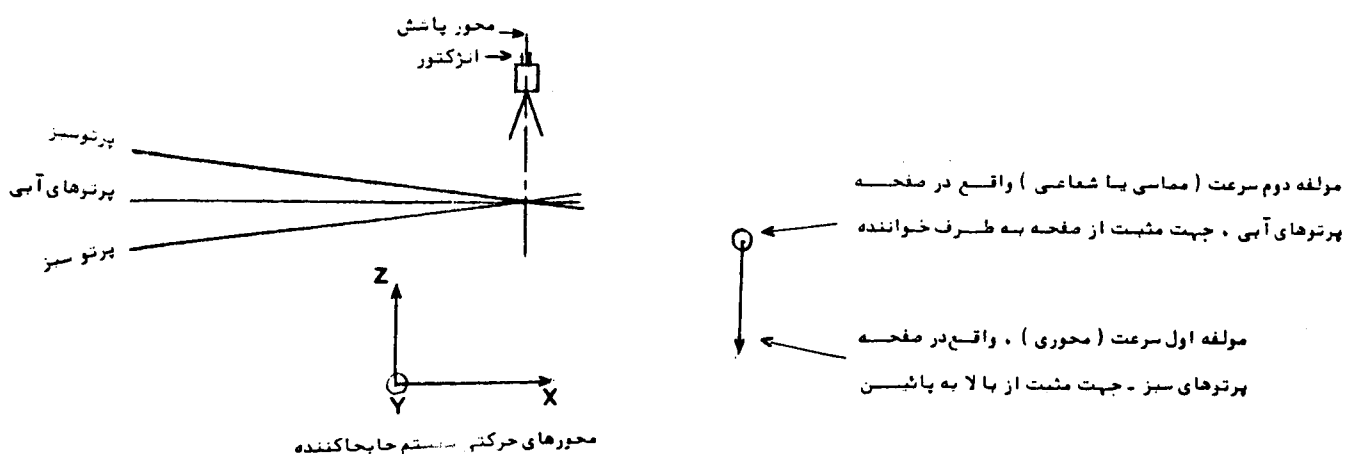
شکل ۹: محل تلاقی پرتوهای لیزر، ثابت بوده و انژکتور در صفحه افق جابجا می‌شود.

۱ - دستگاه مورد استفاده در آن واحد دو مؤلفه سرعت را تعیین می‌نماید.

محور (Z).  
 ۶ - با استفاده از محورهای X و Y، محل برخورد پرتوهای لیزر را روی محور پاشش قرار می‌دهیم و این نقطه را بعنوان (۰، ۰) به سیستم معرفی می‌کنیم.  
 ۷ - برای ۴۲ نقطه واقع روی قطرهای عمود بر هم  $X = ۰$  و  $Y = ۰$  (برای هر قطر ۲۱ نقطه) اندازه‌گیری را برای ۱۵۰۰ نمونه قطره برای هر نقطه انجام می‌دهیم.  
 ۸ - پس از تنظیم نگهدارنده انژکتور را اندکی شل کرده و انژکتور را  $72^\circ$  در یک جهت می‌چرخانیم و مجدداً

- ۱ - ابتدا Traverse را تراز نموده و محور X آنرا به موازات صفحه پرتوهای سبز تنظیم می‌کنیم (۱).
- ۲ - انژکتور  $15^\circ$  را در جای خود می‌بندیم.
- ۳ - تنظیمات لازم را روی دستگاه PDA برای انجام آزمایش اعمال می‌کنیم (۲) و دستگاه را برای انجام تست آماده می‌کنیم.
- ۴ - فشار مخزن آب را روی ۱۰ bar تنظیم می‌کنیم و پاشش را تشکیل می‌دهیم.
- ۵ - صفحه پرتوهای آبی را به فاصله ۴۵ mm از خروجی انژکتور تنظیم می‌کنیم (با استفاده از

#### ۱ - موقعیت پرتوهای لیزر، انژکتور و محورهای سیستم جابجاکننده بطور شماتیک

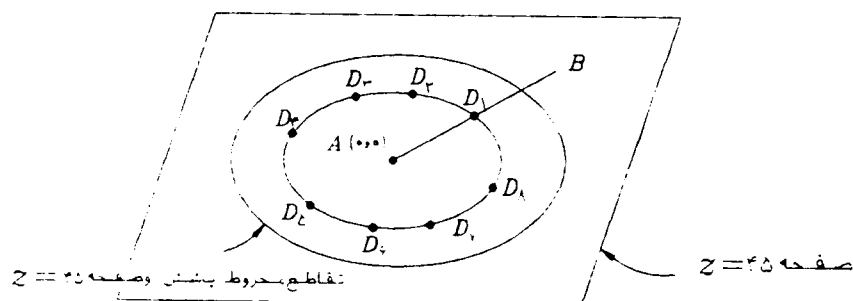


پرتوهای سبز مولفه محوری سرعت (در امتداد جاذبه) و پرتوهای آبی مولفه دوم سرعت را میدهدند. اگر محور X مربوط به سیستم جابجاکننده مطابق شکل به موازات صفحه پرتوهای سبز باشد، آنگاه در صفحه  $z=45\text{mm}$   $= z$  اگر در امتداد یک قطر (y=cte) حرکت کنیم آنگاه مولفه دوم سرعت مماسی سرعت خواهد بود. بر عکس، اگر در صفحه  $z=45\text{mm}$  در امتداد قطری عمود بر قطر فوق (x=cte) حرکت کنیم، آنگاه مولفه دوم سرعت، مولفه شعاعی خواهد بود.

بنابراین اگر محور X موازی صفحه پرتوهای سبز بوده و همیشه در امتداد قطرهای x=cte و y=cte حرکت کنیم، سه مولفه سرعت را خواهیم داشت.

۲ - این تنظیمات شامل تنظیمات سخت افزاری (از قبیل تنظیم دقیق همگرایشدن پرتوهای لیزر در یک نقطه، بالا بردن قدرت لیزر بوسیله تنظیمات صحیح اپتیکی و ...) و نیز تنظیمات نرم افزاری (از قبیل دادن مشخصه های اپتیکی به کامپیوتر، ایجاد فایل Traverse، انتخاب ولتاژ و bandwidth صحیح بوسیله کامپیوتر مناسب با سایز و سرعت قطرات و ...) میباشد. برای اطلاع بیشتر می توان به کتابچه های user's manual 1-PDA و 2-sizeware که بوسیله کمپانی سازنده تدوین شده است مراجعه نمود.

۳ - از آنجاکه پس از گذشتن از هر نقطه مقادیر مشخصه ها تغییر می کند بنابراین باید تنظیمات نرم افزاری را برای سیستم، از قبیل ولتاژ و band width پس از عبور از چند نقطه، مطابق با وضعیت جدید تغییر دهیم تا اندازه گیری دقیق صورت گیرد.



شکل ۱۰: هر مشخصه برای نقطه‌ای مثل  $D_1$  واقع بر امتداد شعاع  $AB$  برابر است با میانگین مشخصه مربوط به نقاط  $D_1, D_2, D_3, D_4, D_5$  و  $D_6$  که روی یک محیط دایره قرار گرفته است.

اطلاعات آنها (مشخصه پاشش در نقاط مختلف) در صفحات ۱۱ تا ۲۵ آورده شده است و هر صفحه مربوط به یک فایل است که کد مربوطه در پائین هر صفحه آورده شده است.

حال از مجموعه اطلاعات ثبت شده برای هر انژکتور و هر مشخصه پاشش، مقادیر مربوط به نقاط همانند(که همچنانکه) کفته شد، روی دوایر هم مرکز قرار دارند) را با یکدیگر جمع کرده و میانگین‌گیری می‌کنیم. نتیجه حاصل در جدول ۲ آورده شده است.

منحنی تغییرات مشخصه‌های پاشش در امتداد یک شعاع در شکل‌های ۱۲، ۱۳، ۱۴، ۱۵ و ۱۷ آورده شده است.

## ۷- بحث در مورد منحنی‌ها

منحنی‌های مربوط به سرعت شعاعی، محوری و مطلق در صفحات .... و .... رسم شده‌اند. سرعت شعاعی (شکل ۱۲) در حوالی یال مخروط ماکزیم بوده و حدود ده متر بر ثانیه است. این سه منحنی با اختلاف کمی بر هم منطبق هستند. هرچه از کتارهای به مرکز پاشش نزدیک می‌شویم سرعت شعاعی کاهش می‌باید تا در نزدیکی های مرکز صفر شده و از آن پس به مقدار ناچیز کم (و منفی) می‌شود یعنی قطرات در نزدیک مرکز پاشش بدای دفع از مرکز، با سرعت

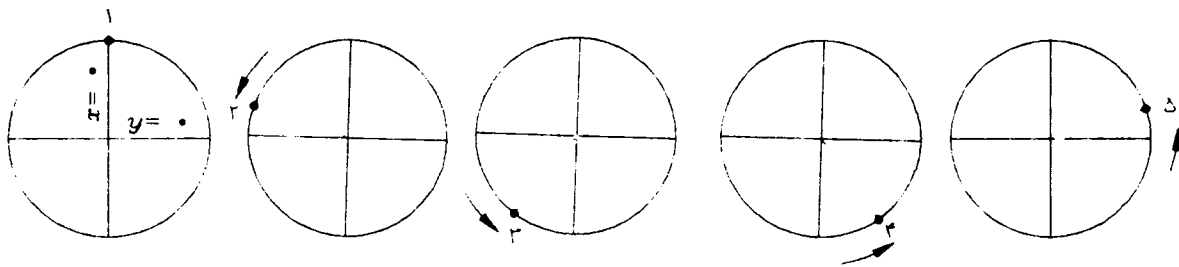
مراحل بالا را در امتداد دو قطر عمود برهم  $X = ۰$  و  $Y = ۰$  تکرار می‌کنیم.

۹- مجدداً انژکتور را  $72^\circ$  در جهت قبلی می‌چرخانیم و اندازه‌گیری را در امتداد اقطار  $X = ۰$  و  $Y = ۰$  انجام می‌دهیم. این عمل را تا آنجا تکرار می‌کنیم تا انژکتور یک دور کامل چرخیده باشد.

۱۰- مراحل فوق را برای انژکتورهای ۴۲۵ و ۴۳۵ تکرار می‌کنیم.

بنابراین برای هر انژکتور اندازه‌گیری در پنج مرحله انجام می‌شود ( $72^\circ \times 5 = 360^\circ$ ) و در هر مرحله در امتداد دو قطر که حرکت کنیم جمعاً در امتداد  $10^\circ$  قطر که زاویه دو قطر مجاور  $18^\circ$  درجه است اندازه‌گیری انجام شده است (به شکل ۱۱-۶ نگاه کنید) و مجموع نقاطی که مشخصه پاشش برای آنها ثبت و استخراج شده است  $210 \times 10 = 2100$  نقطه برای هر انژکتور است. ضمناً در هر نقطه، اندازه‌گیری برای  $1500^\circ$  قطره انجام می‌گیرد.

با زاء هر بار موقعیت انژکتور (موقعیتهاي ۱ تا ۵ در شکل a-11)، اطلاعات مربوطه را در فایلی ذخیره می‌کنیم که نام فایل، کدی بصورت LAabc است که در آن حرف c یکی از اعداد ۱ تا ۵ است که موقعیت انژکتور را نشان می‌دهد و ab یک عدد دو رقمی (۱۵ یا ۲۵ یا ۴۳۵) است که نوع انژکتور را نشان میدهد. بنابراین مجموعاً پانزده فایل خواهیم داشت که

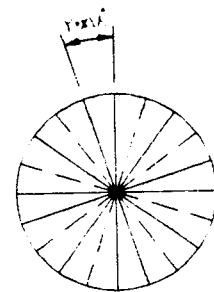
شکل a-۱۱: چرخش انژکتور هر بار  $72^\circ$  و موقعیت قطرهای عمود برهم  $x = 0$  و  $y = 0$ .

در این نواحی مشابه حالت قبل با افزایش زاویه مارپیچ، به مقدار کم، سرعت محوری کاهش می‌یابد (از ۱۲ متر بر ثانیه به ۱۱ متر بر ثانیه میرسد).

منحنی تغییرات سرعت مماسی برای هر سه انژکتور در شکل ۱۴ منحنی تغییرات سرعت مطلق ذرات آورده شده است. از آنجا که مؤلفه سرعت مماسی در مقایسه با دو مؤلفه دیگر خیلی اندک است، هیچ اثری در اندازه سرعت مطلق ندارد و لذا سرعت مطلق را از جذر مجموع مربعات سرعت شعاعی و محوری بدست آورده‌ایم. دیده می‌شود که در کناره‌ها سرعت حدود ۱۴ متر بر ثانیه بوده و با نزدیک شدن به مرکز پس از کذشن از ماکزیم، کاهش می‌یابد تا اینکه در مرکز به حدود  $6/5$  متر بر ثانیه میرسد. مجدداً دیده می‌شود که در حوالی مخروط پاشش (کناره‌ها) با افزایش زاویه مارپیچ، سرعت مطلق به مقدار کمی کاهش می‌یابد.

علت کاهش سرعت در اثر افزایش زاویه « را می‌توان با مراجعه به شکل ۱۹ دریافت. در این شکل سه بردار سرعت که از مارپیچ‌های با زوایای  $25^\circ$ ,  $15^\circ$  و  $25^\circ$  درجه خارج شده‌اند نشان داده شده است که در نقطه A از مارپیچ جدا شده و به درپوش انژکتور برخورد می‌کند.

از نقطه A تا خروجی انژکتور ابعاد هندسی برای هر سه انژکتور دقیقاً یکسان است. اگر دبی برای هر سه انژکتور یکسان باشد، کرچه مؤلفه مماسی سرعت (مؤلفه  $72^\circ$  در شکل ۳) برای هر سه انژکتور یکسان است لیکن بردار سرعتی که با زاویه کمتر به درپوش برخورد نماید بعلت افت کمتر گردابه قویتری در نازل



شکل b-۱۱: تلفیق تمامی حالت‌های پنج گانه.

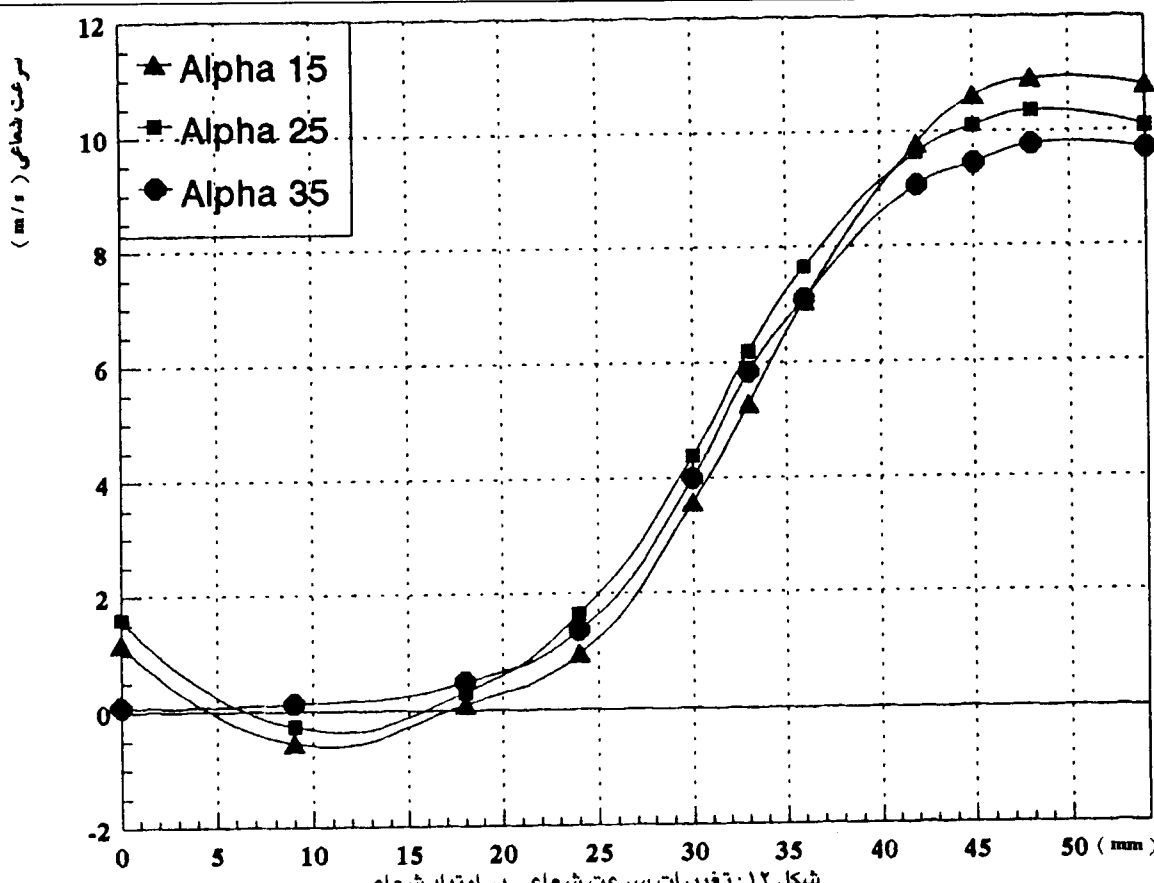
خیلی کم به مرکز جذب می‌شوند. و مجدداً در مرکز پاشش، سرعت صفر می‌شود. علت تغییر جهت حرکت قطره‌ها در نزدیک مرکز، بعلت ناحیه کم فشاری است که در مرکز وجود دارد و قطرات نزدیک آن با سرعت کمی به طرف مرکز جذب می‌شوند.

اگرچه این منحنی‌ها اختلاف ناچیزی باهم دارند لیکن برای ناحیه‌ای که دبی پاشش ماکزیم است (نزدیک کناره‌ها)، هرچه زاویه « بیشتر می‌شود سرعت شعاعی اندکی کاهش می‌یابد (از ۱۱ متر بر ثانیه تا ۱۰ متر بر ثانیه کاهش می‌یابد). علت این پدیده را در ادامه بحث خواهیم دید.

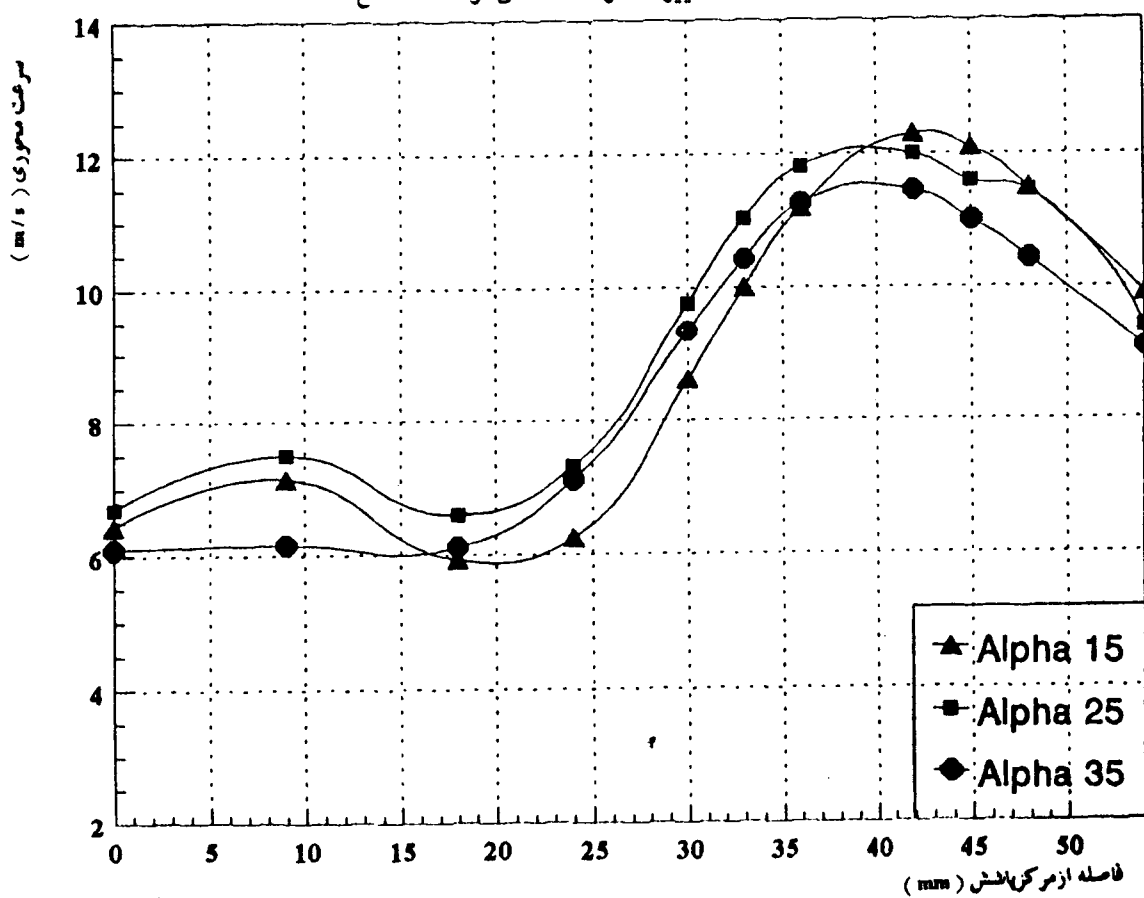
در شکل ۱۳ منحنی تغییرات سرعت محوری در امتداد شعاع آورده شده است. سرعت در کناره‌های پاشش حدود ده متر بر ثانیه است. هرچه به مرکز نزدیک می‌شویم ابتدا سرعت محوری افزایش یافته و به حدود  $11/5$  متر بر ثانیه می‌رسد و از آن پس کاهش می‌یابد و در مرکز پاشش حدود  $6/5$  متر بر ثانیه است. دیده می‌شود که سرعت محوری در نزدیکی‌های کناره که مخروط پاشش وجود دارد ماکزیم بوده و

## جدول ۲: مشخصه های پاشش برو ط به انژکتورها

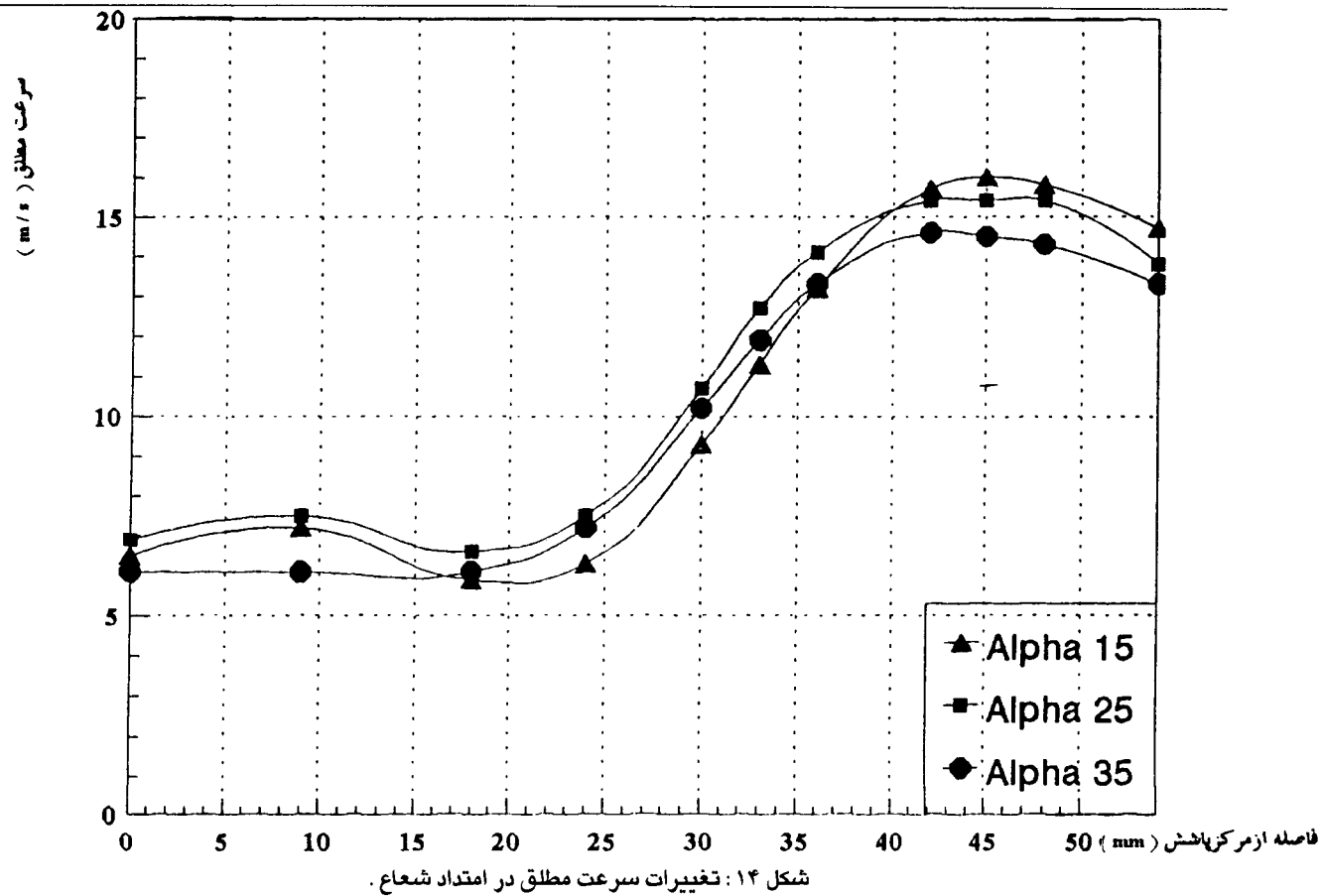
نامه از سه پاره باشند و دارنداد نمای (mm)	سرعت محوری $\frac{m}{s}$	سرعت شماع $\frac{m}{s}$	سرعت غلوبات (بیکرون)	سرعت مطلق $\frac{m}{s}$	زاید بردار سمع مطلق نظره سبت مخصوص پاشش (درجه)		نمای از قدرات در اسانسیتی رکوب
					سرعت مطلق $\frac{m}{s}$	سرعت مطلق $\frac{m}{s}$	
۰	۰	۰	۰	۰	۰	۰	۰
۱	۱/۱۷	۱/۰۹	۰/۰۸	۰/۰۵	۰/۰۵	۰/۰۵	۰/۰۵
۲	۲/۱۴	۱/۰۵	۰/۰۳	۰/۰۳	۰/۰۳	۰/۰۳	۰/۰۳
۳	۳/۱۵	۱/۰۶	۰/۰۴	۰/۰۴	۰/۰۴	۰/۰۴	۰/۰۴
۴	۴/۱۲	۱/۰۷	۰/۰۵	۰/۰۵	۰/۰۵	۰/۰۵	۰/۰۵
۵	۵/۱۳	۱/۰۸	۰/۰۶	۰/۰۶	۰/۰۶	۰/۰۶	۰/۰۶
۶	۶/۱۴	۱/۰۹	۰/۰۷	۰/۰۷	۰/۰۷	۰/۰۷	۰/۰۷
۷	۷/۱۵	۱/۱۰	۰/۰۸	۰/۰۸	۰/۰۸	۰/۰۸	۰/۰۸
۸	۸/۱۶	۱/۱۱	۰/۰۹	۰/۰۹	۰/۰۹	۰/۰۹	۰/۰۹
۹	۹/۱۷	۱/۱۲	۰/۱۰	۰/۱۰	۰/۱۰	۰/۱۰	۰/۱۰
۱۰	۱۰/۱۸	۱/۱۳	۰/۱۱	۰/۱۱	۰/۱۱	۰/۱۱	۰/۱۱
۱۱	۱۱/۱۹	۱/۱۴	۰/۱۲	۰/۱۲	۰/۱۲	۰/۱۲	۰/۱۲
۱۲	۱۲/۲۰	۱/۱۵	۰/۱۳	۰/۱۳	۰/۱۳	۰/۱۳	۰/۱۳
۱۳	۱۳/۲۱	۱/۱۶	۰/۱۴	۰/۱۴	۰/۱۴	۰/۱۴	۰/۱۴
۱۴	۱۴/۲۲	۱/۱۷	۰/۱۵	۰/۱۵	۰/۱۵	۰/۱۵	۰/۱۵
۱۵	۱۵/۲۳	۱/۱۸	۰/۱۶	۰/۱۶	۰/۱۶	۰/۱۶	۰/۱۶
۱۶	۱۶/۲۴	۱/۱۹	۰/۱۷	۰/۱۷	۰/۱۷	۰/۱۷	۰/۱۷
۱۷	۱۷/۲۵	۱/۲۰	۰/۱۸	۰/۱۸	۰/۱۸	۰/۱۸	۰/۱۸
۱۸	۱۸/۲۶	۱/۲۱	۰/۱۹	۰/۱۹	۰/۱۹	۰/۱۹	۰/۱۹
۱۹	۱۹/۲۷	۱/۲۲	۰/۲۰	۰/۲۰	۰/۲۰	۰/۲۰	۰/۲۰
۲۰	۲۰/۲۸	۱/۲۳	۰/۲۱	۰/۲۱	۰/۲۱	۰/۲۱	۰/۲۱
۲۱	۲۱/۲۹	۱/۲۴	۰/۲۲	۰/۲۲	۰/۲۲	۰/۲۲	۰/۲۲
۲۲	۲۲/۳۰	۱/۲۵	۰/۲۳	۰/۲۳	۰/۲۳	۰/۲۳	۰/۲۳
۲۳	۲۳/۳۱	۱/۲۶	۰/۲۴	۰/۲۴	۰/۲۴	۰/۲۴	۰/۲۴
۲۴	۲۴/۳۲	۱/۲۷	۰/۲۵	۰/۲۵	۰/۲۵	۰/۲۵	۰/۲۵
۲۵	۲۵/۳۳	۱/۲۸	۰/۲۶	۰/۲۶	۰/۲۶	۰/۲۶	۰/۲۶
۲۶	۲۶/۳۴	۱/۲۹	۰/۲۷	۰/۲۷	۰/۲۷	۰/۲۷	۰/۲۷
۲۷	۲۷/۳۵	۱/۳۰	۰/۲۸	۰/۲۸	۰/۲۸	۰/۲۸	۰/۲۸
۲۸	۲۸/۳۶	۱/۳۱	۰/۲۹	۰/۲۹	۰/۲۹	۰/۲۹	۰/۲۹
۲۹	۲۹/۳۷	۱/۳۲	۰/۳۰	۰/۳۰	۰/۳۰	۰/۳۰	۰/۳۰
۳۰	۳۰/۳۸	۱/۳۳	۰/۳۱	۰/۳۱	۰/۳۱	۰/۳۱	۰/۳۱
۳۱	۳۱/۳۹	۱/۳۴	۰/۳۲	۰/۳۲	۰/۳۲	۰/۳۲	۰/۳۲
۳۲	۳۲/۴۰	۱/۳۵	۰/۳۳	۰/۳۳	۰/۳۳	۰/۳۳	۰/۳۳
۳۳	۳۳/۴۱	۱/۳۶	۰/۳۴	۰/۳۴	۰/۳۴	۰/۳۴	۰/۳۴
۳۴	۳۴/۴۲	۱/۳۷	۰/۳۵	۰/۳۵	۰/۳۵	۰/۳۵	۰/۳۵
۳۵	۳۵/۴۳	۱/۳۸	۰/۳۶	۰/۳۶	۰/۳۶	۰/۳۶	۰/۳۶
۳۶	۳۶/۴۴	۱/۳۹	۰/۳۷	۰/۳۷	۰/۳۷	۰/۳۷	۰/۳۷
۳۷	۳۷/۴۵	۱/۴۰	۰/۳۸	۰/۳۸	۰/۳۸	۰/۳۸	۰/۳۸
۳۸	۳۸/۴۶	۱/۴۱	۰/۳۹	۰/۳۹	۰/۳۹	۰/۳۹	۰/۳۹
۳۹	۳۹/۴۷	۱/۴۲	۰/۴۰	۰/۴۰	۰/۴۰	۰/۴۰	۰/۴۰
۴۰	۴۰/۴۸	۱/۴۳	۰/۴۱	۰/۴۱	۰/۴۱	۰/۴۱	۰/۴۱
۴۱	۴۱/۴۹	۱/۴۴	۰/۴۲	۰/۴۲	۰/۴۲	۰/۴۲	۰/۴۲
۴۲	۴۲/۵۰	۱/۴۵	۰/۴۳	۰/۴۳	۰/۴۳	۰/۴۳	۰/۴۳
۴۳	۴۳/۵۱	۱/۴۶	۰/۴۴	۰/۴۴	۰/۴۴	۰/۴۴	۰/۴۴
۴۴	۴۴/۵۲	۱/۴۷	۰/۴۵	۰/۴۵	۰/۴۵	۰/۴۵	۰/۴۵
۴۵	۴۵/۵۳	۱/۴۸	۰/۴۶	۰/۴۶	۰/۴۶	۰/۴۶	۰/۴۶
۴۶	۴۶/۵۴	۱/۴۹	۰/۴۷	۰/۴۷	۰/۴۷	۰/۴۷	۰/۴۷
۴۷	۴۷/۵۵	۱/۵۰	۰/۴۸	۰/۴۸	۰/۴۸	۰/۴۸	۰/۴۸
۴۸	۴۸/۵۶	۱/۵۱	۰/۴۹	۰/۴۹	۰/۴۹	۰/۴۹	۰/۴۹
۴۹	۴۹/۵۷	۱/۵۲	۰/۵۰	۰/۵۰	۰/۵۰	۰/۵۰	۰/۵۰
۵۰	۵۰/۵۸	۱/۵۳	۰/۵۱	۰/۵۱	۰/۵۱	۰/۵۱	۰/۵۱
۵۱	۵۱/۵۹	۱/۵۴	۰/۵۲	۰/۵۲	۰/۵۲	۰/۵۲	۰/۵۲
۵۲	۵۲/۶۰	۱/۵۵	۰/۵۳	۰/۵۳	۰/۵۳	۰/۵۳	۰/۵۳
۵۳	۵۳/۶۱	۱/۵۶	۰/۵۴	۰/۵۴	۰/۵۴	۰/۵۴	۰/۵۴
۵۴	۵۴/۶۲	۱/۵۷	۰/۵۵	۰/۵۵	۰/۵۵	۰/۵۵	۰/۵۵
۵۵	۵۵/۶۳	۱/۵۸	۰/۵۶	۰/۵۶	۰/۵۶	۰/۵۶	۰/۵۶
۵۶	۵۶/۶۴	۱/۵۹	۰/۵۷	۰/۵۷	۰/۵۷	۰/۵۷	۰/۵۷
۵۷	۵۷/۶۵	۱/۶۰	۰/۵۸	۰/۵۸	۰/۵۸	۰/۵۸	۰/۵۸
۵۸	۵۸/۶۶	۱/۶۱	۰/۵۹	۰/۵۹	۰/۵۹	۰/۵۹	۰/۵۹
۵۹	۵۹/۶۷	۱/۶۲	۰/۶۰	۰/۶۰	۰/۶۰	۰/۶۰	۰/۶۰
۶۰	۶۰/۶۸	۱/۶۳	۰/۶۱	۰/۶۱	۰/۶۱	۰/۶۱	۰/۶۱



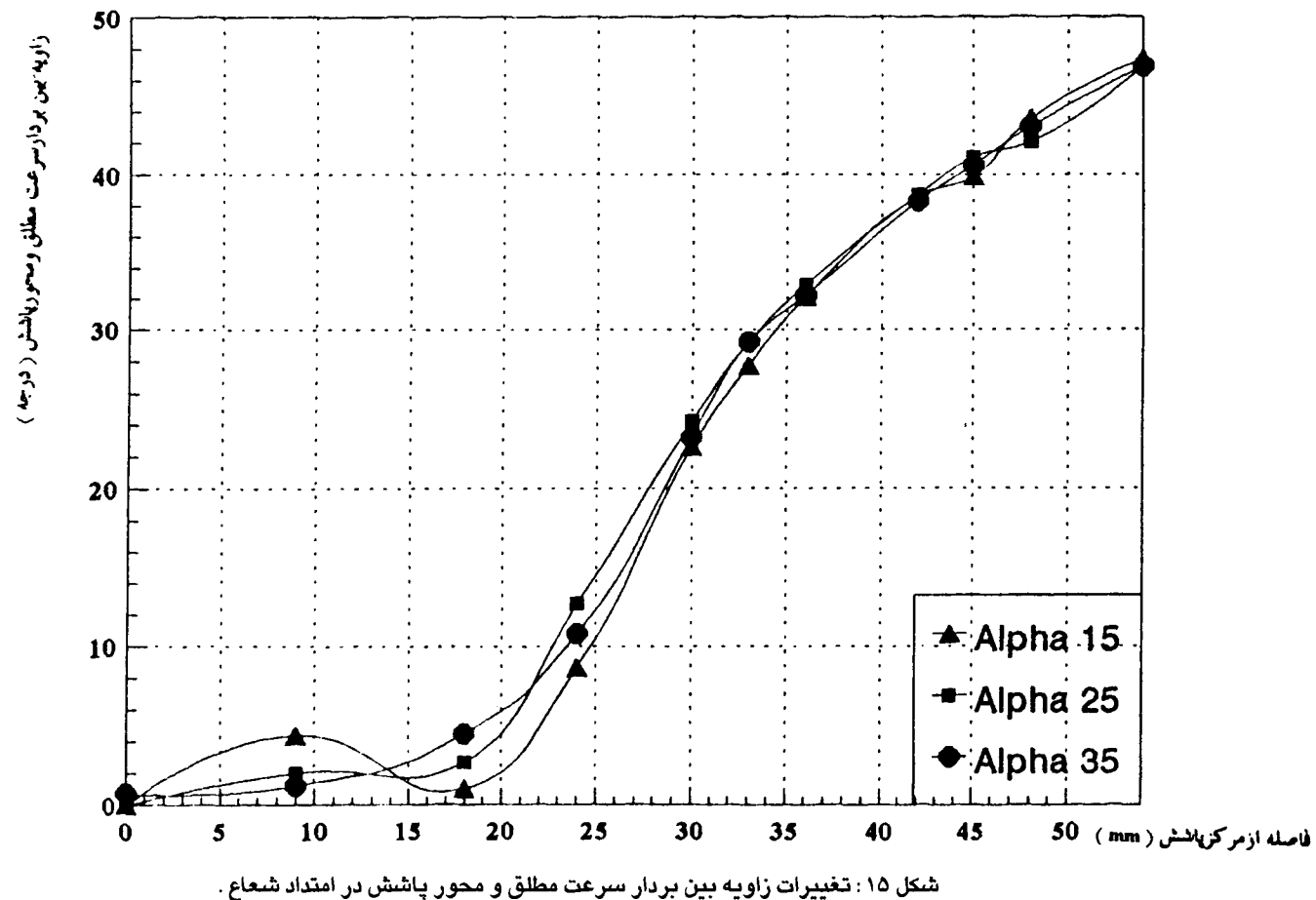
شکل ۱۲: تغییرات سرعت شعاعی در امتداد شعاع.



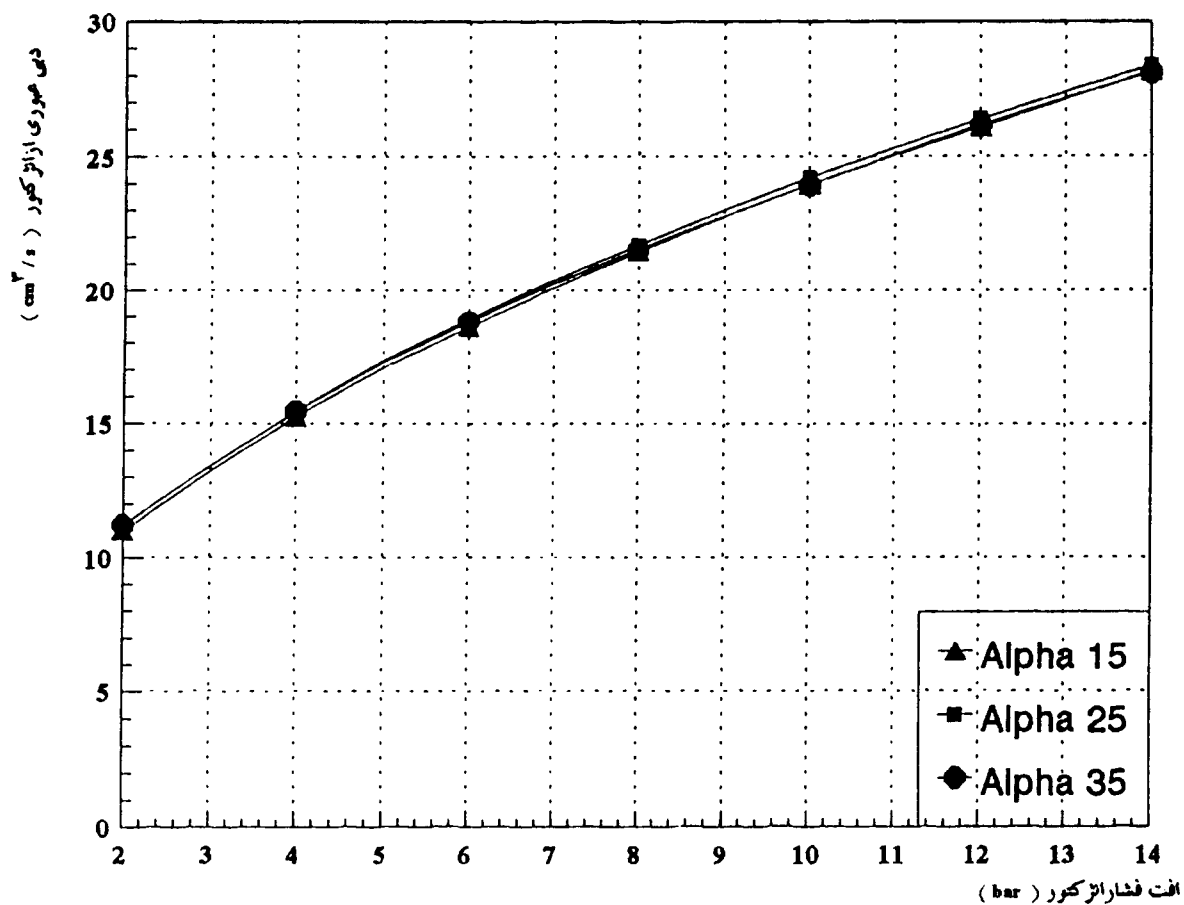
شکل ۱۳: تغییرات سرعت محوری در امتداد شعاع.



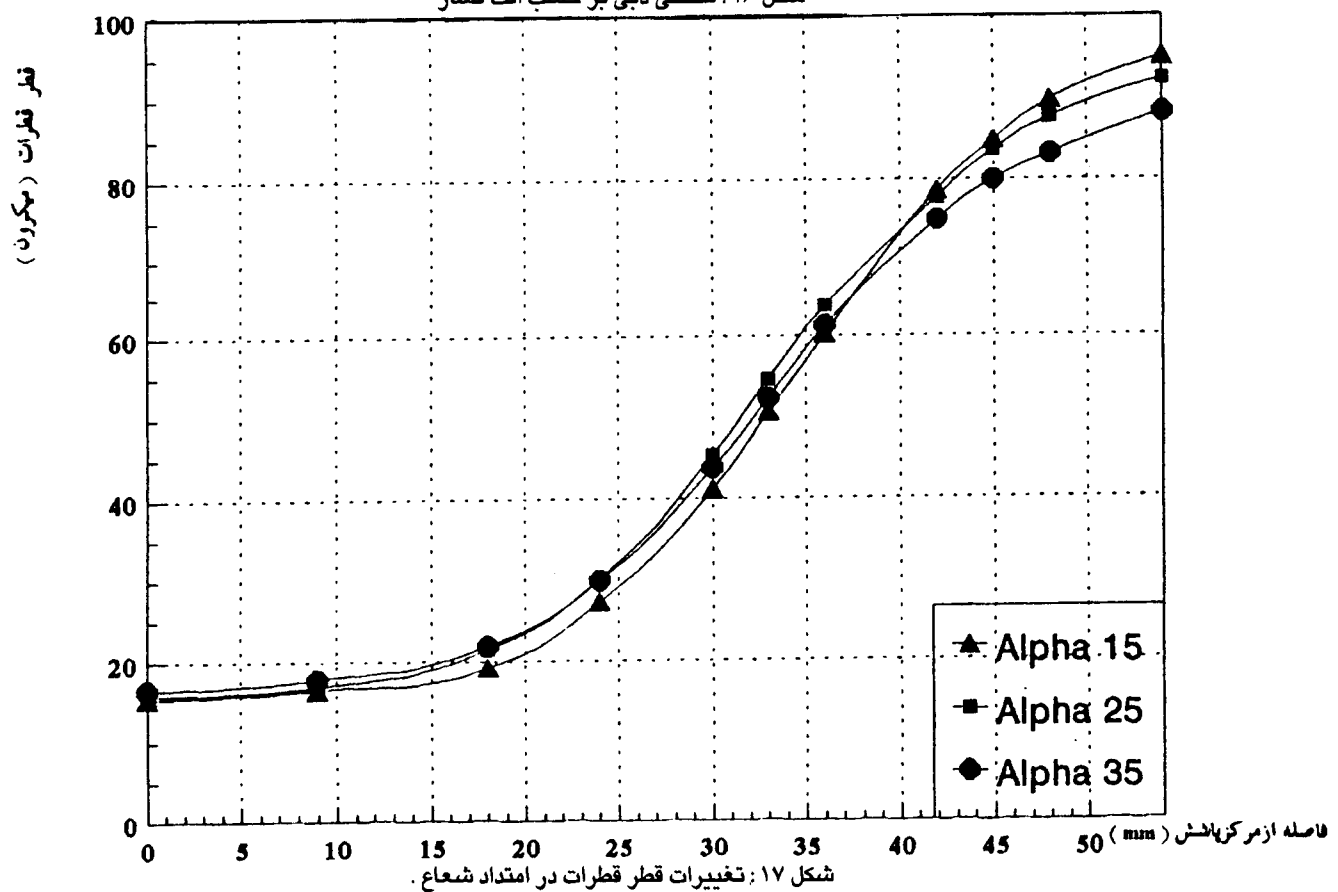
شکل ۱۴: تغییرات سرعت مطلق در امتداد شعاع.



شکل ۱۵: تغییرات زاویه بین بردار سرعت مطلق و محور پاشش در امتداد شعاع.



شکل ۱۶: منحنی دبی بر حسب افت فشار



شکل ۱۷: تغییرات قطر قطرات در امتداد شعاع.

نمی‌کند.

در شکل ۱۷ منحنی تغییرات قطر ذرات در امتداد شعاع آورده شده است. دیده می‌شود قطر در مرکز مینیمم و برابر  $16 \mu\text{m}$  بوده و در کناره‌ها ماکزیمم و برابر  $90 \mu\text{m}$  است یعنی هرچه از مرکز به کناره‌ها می‌رویم قطرات درشتتر می‌شوند. در روی یال مخروط پاشش، هرچه زاویه مارپیچ افزایش می‌یابد. مثلاً برای نقطه  $R = 54 \text{ mm}$ ، قطر از  $95 \text{ میکرون}$  به  $88 \text{ میکرون}$  کاهش می‌یابد (کاهش به میزان  $7/5 \%$ ). تغییرات قطر برای سه انژکتور در هر نقطه حدود  $7\%$  است. از مقایسه منحنی‌های مربوط به سرعت و قطر، نتیجه می‌گیریم که قطرات درشتتر دارای سرعت بیشتری هستند.

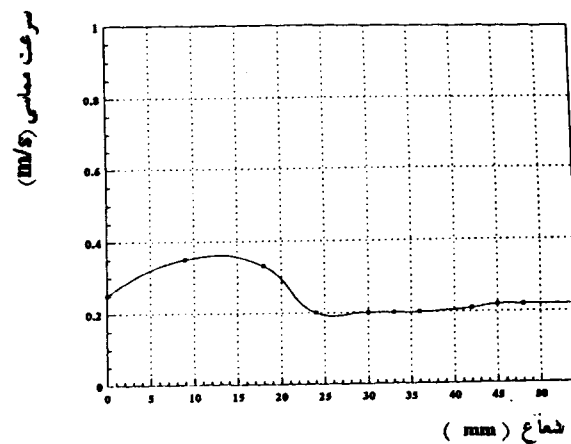
تأثیر زاویه مارپیچ بر تعداد در واحد حجم قطرات: از بخشی که در ضمیمه آمده است دیده می‌شود که تعداد در واحد حجم قطرات تابعی از تعداد و سرعت آنها می‌باشد. برای جرم معینی از سیال، قطر قطرات نیز روی آن اثر می‌گذارد و با کاهش قطر، تعداد آن افزایش می‌یابد.

بطور کلی، تعداد در واحد حجم قطرات، با تعداد آنها نسبت مستقیم و با سرعت آنها نسبت عکس دارد. در صفحات قبل دیدیم که افزایش زاویه مارپیچ، کاهش قطر و کاهش سرعت را بدبانی دارد که هردوی این عوامل باعث افزایش تعداد در واحد حجم قطرات می‌شود. این موضوع را میتوان در جدول ۲ مشاهده کرد.

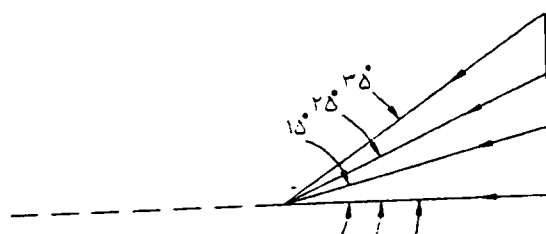
در کناره مخروط پاشش تعداد در واحد حجم قطرات حدود  $62^\circ$  قطره در سانتی‌متر مکعب است. حال اگر از کناره مخروط به مرکز نزدیک شویم، بعلت کاهش قطر و کاهش سرعت، تعداد در واحد حجم قطرات افزایش می‌یابد. بنابراین در مرکز پاشش تعداد در واحد حجم قطرات ماکزیمم است.

## ۸- خلاصه نتایج

- تغییر زاویه مارپیچ تأثیری در افت فشار انژکتور (وسیstem تغذیه راکت) ایجاد نمی‌کند.



شکل ۱۸: تغییرات سرعت محوری در امتداد شعاع.



شکل ۱۹: موقعیت زاویه‌ای سیال خروجی از مارپیچ نسبت به درپوش انژکتور.

(درپوش) ایجاد خواهد کرد. با افزایش قدرت گردابه،  $2 \text{ m}$  در شکل ۲ افزایش می‌یابد و لذا سطح مقطع مؤثر عبور جریان از اریفیس کاهش می‌یابد و در نتیجه سرعت جریان خروجی از انژکتور زیاد می‌شود. مطلق نتیجه تغییرات زاویه  $\theta$  (زاویه‌ای که بردار سرعت مطلق با محور پاشش می‌سازد) در شکل ۱۵ آورده شده است.

$\frac{\text{Radial Velocity}}{\text{axial velocity}} = \text{tg}^{-1} \theta$  دیده می‌شود که با تغییر زاویه مارپیچ، بخصوص برای نواحی دارای دبی ماکزیمم (نزدیکی کناره‌ها) زاویه  $\theta$  تغییر نمی‌کند و بنابراین زاویه مخروط پاشش تغییر محسوسی

را زیاد می کند و باعث استهلاک ابزار و بالا رفتن زمان ماشین کاری می شود. و از آنجا که پروسه ایجاد راهگاه، وقت کمتر است بنابراین ایجاد راهگاهی با زاویه بیشتر، سبب صرفه جوئی در وقت و کم کردن هزینه ماشین کاری خواهد شد و علاوه بر آن همچنانکه ملاحظه گردید تفاوت چندانی در مشخصه پاشش ایجاد نمی شود.

### فهرست علائم

D	قطر مارپیچ (میلیمتر)
d	قطر اریفیس نازل (میلیمتر)
L	طول مارپیچ (میلیمتر)
N	تعداد راهگاه مارپیچ
q	دبی سیال (سانتمترمکعب بر ثانیه)
r <sub>m</sub>	شعاع حفره هوائی (میلیمتر)
S <sub>1</sub>	سطح مقطع جریان در مقطع عمود بر راهگاه (میلیمتر مربع)
S <sub>2</sub>	سطح مقطع جریان عمود بر بردار سرعت مماسی (میلیمتر مربع)
V <sub>1</sub>	سرعت سیال در راهگاه مارپیچ (متر بر ثانیه) مولفه مماسی سرعت سیال در راهگاه مارپیچ (متر بر ثانیه)
V <sub>2</sub>	فاصله صفحه اندازه گیری از خروجی ازثکتور (میلیمتر)
$\alpha$	زاویه مارپیچ (درجه)
$\gamma$	زاویه همکرانی نازل (درجه)
$\rho$	دانسیته سیال ( $\text{Kg}/\text{m}^3$ )
$\mu$	ویسکوزیته سیال $\frac{\text{N.Sec}}{\text{m}^2}$
$\sigma$	کشش سطحی سیال (N/m)

- ۲ - در مرکز پاشش سرعت شعاعی برابر صفر است.
- ۳ - هرچه از مرکز دور میشویم سرعت شعاعی ابتدا افزایش یافته و در کناره ها تقریباً ثابت باقی می ماند، و این روند ارتباطی به زاویه مارپیچ ندارد.
- ۴ - در حوالی مخروط پاشش، با افزایش زاویه مارپیچ سرعت شعاعی به مقدار کمی کاهش می یابد.

- ۵ - سرعت محوری در مرکز پاشش مینیم است.
- ۶ - هر چه از مرکز دور میشویم، سرعت محوری ابتدا افزایش می یابد و پس از گذشتن از ماکزیمم (در مخروط پاشش) به مقدار کمی کاهش می یابد و این روند ارتباطی به زاویه مارپیچ ندارد.
- ۷ - در حوالی مخروط پاشش، با افزایش زاویه مارپیچ، سرعت محوری کمی کاهش می یابد.
- ۸ - قطر قطرات در مرکز پاشش مینیم است.
- ۹ - هرچه از مرکز دور میشویم قطر قطرات افزایش می یابد.
- ۱۰ - با افزایش زاویه مارپیچ، قطر قطرات کمی کاهش می یابد.
- ۱۱ - قطرات در شتر دارای سرعت بیشتری هستند.
- ۱۲ - زاویه مارپیچ تأثیری در زاویه بردار سرعت مطلق نسبت به محور پاشش ایجاد نمی کند.
- ۱۳ - تعداد در واحد حجم قطرات در کناره ها مینیم و در وسط ماکزیمم است.

### ۹ - نتیجه کاربردی

کاهش زاویه مارپیچ، طول راهگاه و نیز سطح مقطع راهگاه را افزایش داده و لذا حجم براده برداری

### مراجع

- 1 - Sutoon, G. P.(1986). *Rocket Propulsion Elements*. 5th ed. John Willey and Sons, Inc., New York.
- 2 - Parkin jr, C. M.(1959). *The Rocket Handbook for Amateurs*. The John Day Company, New York.
- 3 - Ring, E., editor.(1964). *Rocket Propellant and Pressurization Systems*. Prentice - Hall, Inc., Englewood cliffs, New Jersey.

- 4 - Ingebo, R. D., *Drop Size Distributions for Impinging Jet Breakup in Airstreams Simulating The Velocity Conditions in Rocket Combustors*. NACA TN 4222.
- 5 - Hirai, T., Inomura, T., Mori, T., Okamoto, K., and Nagai, N., *A Study on Dynamic Characteristics of Spray Droplets*. Dept. of Precision Engineering, Faculty of Engineering, TOHOKOU University.
- 6 - Haugen, P., *Particle Sizing and Velocity Measurements Using Laser Doppler Technique*. Dantes Electronic Medicinsk of Videnskabeligt Maleudstryr A/S. Tonsbakken 16-18, DK-2740 Skovlunde, Denmark.
- 7 - Pitcher, D., and Wigley, G., *Sensitivity of Dropsize Measurements by Phase Doppler Anemometry to Refractive Index Changes in Combusting Fule Spray*. Avi-List GmbH, Graz - Austria.
- 8 - Pitcher, E., and Wigley, G., *A Study of the Breakup and Atomization of a Combusting Diesel Fuel Spray by Phase Doppler Anemometry*. Avi - List GmbH GRRAZ, Austria.